

скорости переноса энергии в волновом пакете от параметра m , определяемого граничными условиями для случая точного резонанса $\psi_k = \frac{\pi}{2}$, $\Phi = \frac{\pi}{2}$, $m = \frac{B}{C} \leq 1$. Для $m > 1$ волны 2 и 3 меняются местами. Участок на кривой $v_e(m)$, где $\frac{dv_e}{dm}$ неограничен но возрастает, исчезает при $\frac{\omega_1}{v_1} = \frac{\omega_2}{v_2} + \frac{\omega_3}{v_3}$. Таким образом, скорость распространения энергии в квадратично-нелинейной среде изменяется в интервале, определяемом минимальной и максимальной групповыми скоростями волн, присутствующих в пакете, в зависимости от начального распределения энергии между ними.

Л и т е р а т у р а

- [1] Вайнштейн Л.А. - УФН, 1976, т. 118, № 2, с. 339-367.
- [2] Бхатнагар П. Нелинейные волны в одномерных дисперсных системах. Пер. с англ. М.: Мир, 1983. 136 с.
- [3] Захаров В.Е., Манаков С.В., Новиков С.П., Питаевский Л.П. Теория солитонов: метод обратной задачи. М.: Наука, 1980. 320 с.
- [4] Рабинович М.И., Трубецков Д.И. Введение в теорию колебаний и волн. М.: Наука, 1984. 432 с.
- [5] Абрамович М., Стиган И. Справочник по специальным функциям. М.: Наука, 1979. 832 с.

Поступило в Редакцию
22 сентября 1987 г.

Письма в ЖТФ, том 14, вып. 8

26 апреля 1988 г.

ПРОХОЖДЕНИЕ БЫСТРЫХ ЗАРЯЖЕННЫХ ЧАСТИЦ ЧЕРЕЗ УПРУГО-ДЕФОРМИРОВАННЫЕ МОНОКРИСТАЛЛЫ

В.В. Белошицкий, В.А. Старостин

При высоких энергиях пробеги частиц в веществе возрастают до макроскопических размеров. Одновременно растут затраты на управление траекторией частиц с помощью магнитных полей. Поэтому представляет интерес использование кристаллов для поворота пучков частиц [1]. Первые эксперименты показали практическую осуществимость этого метода, однако теоретически было рассмотрено лишь действие центробежного потенциала, связанного с искривлением траектории частицы [2]. Такое рассмотрение справедливо лишь для тонкого кристалла. Практически же важно прохождение через толстый кристалл для увеличения угла поворота. В настоящей работе развита теория, позволяющая расчитывать интенсивность пучка, про-

ходящего через деформированный кристалл значительной толщины.

Как известно, в кулоновском газе на движение частицы оказывают значительно большее влияние дальние взаимодействия по сравнению со столкновениями в ближней зоне. Но для большинства дальних взаимодействий углы столкновения малы, что позволяет описывать прохождение пучка частиц уравнением Фоккера-Планка:

$$\frac{\partial f}{\partial t} + \frac{\vec{P}}{m} \cdot \frac{\partial f}{\partial \vec{r}} - \vec{\nabla}U(\vec{r}) \cdot \frac{\partial f}{\partial \vec{p}} = -\frac{\partial}{\partial \vec{p}} \cdot \left(\frac{\delta \vec{P}}{\delta t} \right) f + \frac{1}{2} \cdot \frac{\partial^2}{\partial p_i \partial p_j} \left(\frac{\delta p_i \delta p_j}{\delta t} \right) f, \quad (1)$$

где f – функция распределения по времени t , координатам \vec{r} и импульсам \vec{p} ; m – масса частицы; U – потенциальная энергия. Это уравнение может быть получено из уравнения Больцмана разложением последнего в ряд Тейлора около нулевого угла столкновения. Отметим, что область, где справедливо уравнение (1) – это подобласть применимости уравнения Больцмана, которое учитывает столкновения при всех значениях прицельного параметра. Упомянутый вывод уравнения (1) опирается на дальнодействие кулоновского взаимодействия. Существует и другой вывод уравнения Фоккера-Планка, основанный на уравнении Чепмена-Колмогорова, т.е. уравнение (1) является весьма общим.

Применяя уравнение (1) для описания прохождения быстрых заряженных частиц через монокристаллы с плоскостями упруго-деформированными в поперечном к ним направлении по закону $x_a(z)$, получим:¹

$$\frac{\partial f}{\partial z} + \frac{p_x}{m\nu} \frac{\partial f}{\partial x} - \frac{1}{\nu} \frac{dU(x-x_a(z))}{dx} \frac{\partial f}{\partial p_x} = \frac{1}{2} \frac{\partial^2}{\partial p_x^2} \left(\frac{\delta p_x^2}{\delta z} \right) f, \quad (2)$$

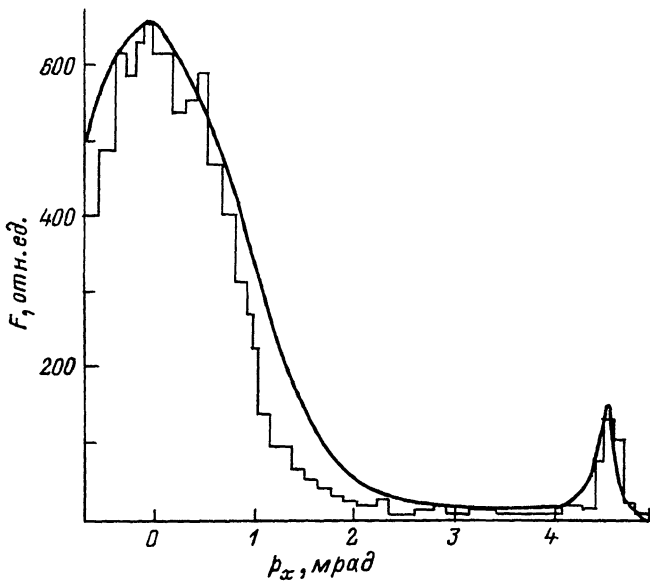
где ν – скорость частицы. После замены переменных

$$\begin{cases} x' = z \\ x' = x - x_a(z) \\ p'_x = p_x - m\nu \frac{dx_a(z)}{dz} \end{cases}$$

в уравнении (2) получим:

$$\frac{\partial f}{\partial z} + \frac{p_x}{m\nu} \frac{\partial f}{\partial x} - \left(\frac{1}{\nu} \frac{dU}{dx} + m\nu \frac{d^2 x_a}{dz^2} \right) \frac{\partial f}{\partial p_x} = \frac{1}{2} \frac{\partial^2}{\partial p_x^2} \left(\frac{\delta p_x^2}{\delta z} \right) f, \quad (3)$$

¹ Так как время пролета мало по сравнению с периодом упругих колебаний, то задача является стационарной.



Экспериментальная гистограмма [5] и теоретическая кривая углового распределения 8.4 ГэВ протонов, прошедших изогнутый на 4.5 мрад кристалл кремния толщиной 2 см.

где мы опустили штрих у новых переменных,

Переходя к поперечной энергии $E_x = \frac{p_x^2}{2m} + U_{\text{эфф}}$, где $U_{\text{эфф}} = U(x) + m\sigma^2 x \frac{d^2 x_a}{dz^2}$ есть эффективный потенциал в криволинейных координатах, преобразуем уравнение (3) к виду:

$$\frac{\partial f}{\partial z} + \frac{p_x}{m\sigma} \frac{\partial f}{\partial x} = \frac{1}{2m^2} \frac{\partial}{\partial E_x} P_x \left(\frac{\partial P_x^2}{\partial z} \right) \frac{\partial}{\partial E_x} P_x f. \quad (4)$$

В случае статистического равновесия, следуя методу, развитому для прямого кристалла в [3], преобразуем (4) к виду:

$$\frac{\partial F}{\partial z} = \frac{\partial}{\partial p_x} \frac{D_x T(P_x)}{P_x} \frac{\partial}{\partial p_x} \frac{F}{P_x T(P_x)}, \quad (5)$$

$$\text{где } D_x = \langle 2 \frac{\Delta E_x}{\Delta z} (E_x - U_{\text{эфф}}) \rangle,$$

$$\langle A \rangle = \frac{\sqrt{2m}}{T} \int_{z_1}^{z_2} \frac{A dx}{\sqrt{E_x - U_{\text{эфф}}}}, \quad (6)$$

Начальная угловая расходимость, мрад	Толщина, см	Угол поворота, мрад	Доля отклоненных частиц, %
0.03	1	2.25	25.6
0.03	2	4.5	6.5
0.3	1	2.25	4.6
0.3	2	4.5	1.2
0.3	1	4.5	3.4

x_1 и x_2 – точки поворота; $F(z, \rho_x)$ – число частиц в канале с поперечной энергией $E_x = \frac{\rho_x}{2}$.

Для надбарьерных частиц движение инфинитно и в этом случае нет статистического равновесия в истинном смысле. Кроме того, происходит изменение их поперечной энергии за счет изгиба и дрейфа частиц поперек кристалла. Для учета дрейфа удобно ввести номер канала n и перейти к относительным координатам $x' = x - n d\rho$ и $E'_x = E_x - m v^2 n d\rho \frac{d^2 x_a}{dz^2}$, где $d\rho$ – межплоскостное расстояние. Проведя необходимую замену переменных в (4) и интегрируя по x' с учетом $\int f dx' = F$ и $F = \frac{f \rho_x T}{\sqrt{m}}$, получим окончательное уравнение:

$$\frac{\partial F}{\partial z} + m v d\rho \frac{d^2 x_a}{dz^2} \frac{\partial}{\partial E_x} \frac{F}{T} + \frac{1}{v} \frac{\partial}{\partial n} \frac{F}{T} = \frac{\partial}{\partial E_x} T \left(\frac{\rho_x^2}{2} \frac{d\rho^2}{dz} \right) \frac{\partial}{\partial E_x} \frac{F}{T},$$

где мы опять опустили штрихи у новых переменных. Третье слагаемое описывает дрейф по x со средней скоростью $\frac{d\rho}{T}$, а второе – дрейф по E_x со средним центробежным ускорением $v^2 \frac{d^2 x_a}{dz^2}$.

Считая поперечный размер кристалла малым по сравнению с радиусом его кривизны, дрейфом пучка надбарьерных частиц поперек кристалла можно пренебречь. С учетом этих приближений, кинетическое уравнение для квазиканализированных (надбарьерных) частиц имеет вид:

$$\frac{\partial F}{\partial z} = \frac{\partial}{\partial \rho_x} \frac{D_x T}{\rho_x} \frac{\partial}{\partial \rho_x} \frac{F}{\rho_x T} + d\rho m v \frac{d^2 x_a}{dz^2} \frac{\partial}{\partial \rho_x} \frac{F}{\rho_x T}, \quad (7)$$

причем коэффициент D_x вычисляется по той же формуле (6). Это уравнение существенно отличается от использованного в работе [4]. В том виде, который приведен в [4], уравнение не удовлетворяет условиям сохранения числа частиц и однородности стационарного распределения, которым удовлетворяет исходное неусредненное уравнение Фоккера-Планка (1).

Уравнения (5) и (7) необходимо решать совместно. Так как при отражении от центробежного потенциального барьера квазиканализированных частиц происходит смена знака P_x , то следует произвести сшивание числа частиц с отрицательными F_- и положительными F_+ значениями P_x в точке $|P_x| = \sqrt{2U_m}$, где U_m – высота потенциального барьера: $F_+ = F_-$. Кроме того, необходимо произвести сшивание диффузионного потока при переходе из надбарьерного движения в подбарьерное:

$$\frac{\partial}{\partial P_x} \frac{F}{P_x T} = \frac{\partial}{\partial P_x} \frac{(F_+ + F_-)}{P_x T}.$$

Численное решение было получено для условий эксперимента [5]. Как видно из рисунка, вычисленное теоретическое распределение прошедших протонов хорошо согласуется с экспериментом. При небольшом начальном угловом разбросе пучка (меньше критического угла Линдхарда) происходит захват большей части пучка в режим канализации и поворот ее на значительный угол в случае достаточно толстого кристалла (см. таблицу).

Из изложенной теории следует, что возможно эффективное управление пучками положительных частиц (позитронов, мюонов μ^+ , π^+ мезонов, протонов и других) высокой энергии при помощи изогнутых кристаллов.

Л и т е р а т у р а

- [1] Tsyganov E.N. Batavia, 1976, Fermilab TM-682.
- [2] Carrigan R.A., Gibson W.M. In "Coherent Radiation Sources" ed. by A.W. Saenz and H. Uberall, Berlin, Springer-Verlag, 1985. 30 p.
- [3] Белошицкий В.В., Кумахов М.А. – ЖЭТФ, 1972, т. 62, в. 3, с. 1144–1155.
- [4] Кудряшов Н.А., Петровский С.В., Стриканов М.Н. – Письма в ЖТФ, 1986, т. 12, в. 24, с. 1515–1522.
- [5] Ellishev A.F. et al. – Phys. Lett., 1979, v. 88b, N 3–4, p. 387–391.

Поступило в Редакцию
26 октября 1987 г.